



Designing an Intelligent Monitoring Model for Industrial Equipment with the Approach of Optimizing Transmission Delay and Data Processing Speed (Case Study: Wind Turbines)

Elham Aghazadeh  *

PhD student in Industrial Management, Faculty of Management, Accounting and Human Sciences, Islamic Azad University, Qazvin, Iran

Akbar Alem Tabriz 

Professor of Industrial Management Department, Faculty of Management and Accounting, Shahid Beheshti University, Tehran, Iran

Abstract

In today's industrial units, operators monitor equipment performance, and the challenging coordination between units in vast operating environments with high volumes of equipment can lead to irreparable damage. Despite considerable technological advancements in inspection and surveillance, this responsibility can be effectively delegated to smart devices and the Internet of Things (IoT). Furthermore, the emergence of "edge computing" technology has prompted researchers to explore edge-based computing designs due to their numerous benefits. This study presents a combined model of IoT and civilian drones for intelligent monitoring of industrial equipment performance, employing an edge computing approach. The model is specifically investigated through a case study involving wind turbines. The model evaluates the performance of drones for intelligent monitoring of wind turbines in three stages: 1) Detection process, 2) UAV computational evacuation process, and 3) UAV local computation process. Given the dual purpose of the final model, which involves a combination of the aforementioned three steps, a genetic method was employed for problem-solving with negligible sorting. The amplified epsilon restriction method, utilizing random numbers, was also considered, but the combination of

* Corresponding Author: elhamaghgazadeh11@gmail.com

How to Cite: Aghazadeh, E., Alem Tabriz, A. (2024). Designing an Intelligent Monitoring Model for Industrial Equipment with the Approach of Optimizing Transmission Delay and Data Processing Speed (Case Study: Wind Turbines), *Industrial Management Studies*, 21(71), 1-41.

genetic and negligible sorting methods outperformed it, particularly in large problems where the enhanced epsilon restriction method struggled to provide timely responses due to the inherent complexity of the problem.

Introduction

Today, in various industries, the productivity and efficiency of equipment contribute to the advancement of production and the profitability of production units. Beyond repair costs, equipment breakdowns also result in the expense of lost opportunities for the production unit. Without a solution to prevent these costs, bankruptcy for production units becomes a real possibility. Therefore, consideration should be given to a solution for the optimal monitoring of equipment. Clearly, swift action is crucial when any equipment is damaged, and such rapid response is unattainable through human effort alone. Despite significant technological advances in inspection and monitoring, this task can be delegated to smart tools and the Internet of Things (IoT). The IoT is regarded as one of the most crucial factors for the prosperity and progress of today's and future industrial businesses. Modernizing equipment is a priority for today's industries to quickly adapt to the evolving market changes and harness existing technologies. Businesses incorporating IoT into their infrastructure experience substantial growth in areas such as security, productivity, and profitability. As the use of industrial IoT increases, productivity levels in industries are naturally expected to rise. The IoT can accumulate massive amounts of information and data, enabling factories and companies to optimize their systems and equipment without being hindered by technological and economic limitations. However, a challenge arises from the substantial volume of data generated by the IoT, which is sent to cloud computing centers for processing. Centralized (cloud) processing results in high communication delays and lowers the data transfer rate between IoT devices and potential users, creating operational challenges in the network. To address this issue, the concept of edge computing has been proposed. Edge computing allows IoT services to process data near their own data sources and data sinks instead of relying on the cloud environment. This approach leads to reduced communication delays and more efficient utilization of computing, storage, and network resources. It also minimizes execution time and energy consumption, proving to be highly beneficial for IoT applications.

Consequently, with the advent of "edge computing" technology, many researchers have embraced edge computing-based designs due to its numerous advantages.

Materials and Methods

In this research, a combined model of the Internet of Things and civilian drones was presented for the intelligent monitoring of industrial equipment, utilizing an edge computing approach. The model was investigated through a case study involving wind turbines. The performance of UAVs for intelligent monitoring of wind turbines was examined in three stages: 1) Detection process, 2) UAV computational evacuation process, and 3) UAV local computing process. Given the dual purpose of the final model, which involved a combination of the aforementioned three steps, the model was addressed using genetic methods with sparse sorting and the enhanced epsilon constraint method employing random numbers. The genetic method with sparse sorting outperformed the enhanced epsilon limit method, particularly in problems with large dimensions. The complexity of the problem made it challenging for the enhanced epsilon constraint method to provide timely responses in such cases.

Results

The findings of this research offer valuable insights for the effective and accurate management and monitoring of industrial equipment across various industrial units, aiming to optimize costs, quality, and inspection time. Additionally, this research can provide guidance in considering regulatory restrictions in equipment placement before constructing an industrial unit. During the equipment arrangement phase, the model presented in this research can be utilized for optimal energy consumption and time management. As the combined model of the Internet of Things and civilian drones for intelligent monitoring of industrial equipment is a novel concept in the literature, there exist numerous opportunities for further development in this field. This may include the application of the model in additional case studies, such as enhancing the intelligent monitoring of power supply systems, fire services, etc. Moreover, there is potential for refining the mentioned model under conditions where drones operate simultaneously without a specific sequence.

Conclusion

Failure to monitor industrial equipment properly can result in substantial financial losses for factories and production units. The improper operation of equipment may lead to complete failure, necessitating the need for replacement. Additionally, increased equipment downtime, quality issues, reduced production speed, safety hazards, and environmental pollution can be consequences of equipment failure, ultimately diminishing the profitability of the production unit. Considering factors such as embargoes, emphasis on domestic production, and self-sufficiency, accurate supervision becomes economically crucial for factories.

Effective management of the proper operation of industrial equipment is a fundamental requirement for every production unit, given that industrial equipment represents a significant investment for the unit. If device maintenance is limited to repairs only after breakdowns occur, production devices will consistently face unexpected halts, preventing production productivity from reaching its predetermined goals. Therefore, designing a framework for the "intelligent monitoring of the performance of all relevant industrial equipment" stands as one of the most crucial actions for any production unit. Depending on the type of equipment, monitoring the performance of industrial equipment may encompass periodic inspections, maintenance and repair planning, and scheduling the optimal operational time for the equipment.

Keywords: IoT, UAV, Edge Computing, Intelligent Monitoring.

طراحی مدل نظارت هوشمند بر تجهیزات صنعتی با رویکرد بهینه‌سازی تأخیر انتقال و سرعت پردازش داده‌ها (مطالعه موردی: توربین‌های بادی)

دانشجوی دکتری رشته مدیریت صنعتی، دانشکده مدیریت، حسابداری و علوم
انسانی، دانشگاه آزاد اسلامی، قزوین، ایران

* الهام آقازاده

استاد گروه مدیریت صنعتی، دانشکده مدیریت و حسابداری، دانشگاه شهید
بهشتی، تهران، ایران

اکبر عالم تبریز

چکیده

امروزه در واحدهای صنعتی نظارت بر عملکرد تجهیزات توسط اپراتور انجام می‌شود و به علت گستردگی محیط عملیاتی و حجم بالای تجهیزات، هماهنگی بین واحدها به سختی امکان‌پذیر بوده و خدمات جبران‌ناپذیری در پی دارد. با وجود پیشرفت‌های چشمگیر تکنولوژی در زمینه بازرگانی و نظارت، می‌توان این وظیفه را به ابزارهای هوشمند و اینترنت اشیاء سپرد. همچنین، با ظهور فناوری محاسبات «رایانش لبه»، بسیاری از محققان به دلیل مزایای آن، از طراحی‌های مبتنی بر محاسبات لبه‌ای بهره برده‌اند. لذا در این پژوهش مدلی ترکیبی از اینترنت اشیاء و پهپادهای غیرنظمی جهت نظارت هوشمند بر عملکرد تجهیزات صنعتی با رویکرد رایانش لبه ارائه شد که به عنوان مطالعه موردی توربین‌های بادی موربدبررسی قرار گرفت. در این مدل، عملکرد پهپاد جهت نظارت هوشمند بر توربین‌های بادی در سه مرحله موربدبررسی قرار گرفت. (۱) فرآیند تشخیص (۲) فرآیند تخلیه محاسباتی پهپاد (۳) فرآیند محاسبات محلی پهپاد. با توجه به دو هدفه بودن مدل نهایی که ترکیبی از سه مرحله فوق بود، مدل توسط روش‌های ژنتیک با مرتب‌سازی ناچیره و روش محدودیت اپسیلن تقویت شده با استفاده از اعداد تصادفی حل شد و روش ژنتیک با مرتب‌سازی ناچیره عملکرد بهتری داشت؛ زیرا در مسائل با ابعاد بزرگ، به دلیل پیچیدگی مسئله، روش محدودیت اپسیلن تقویت شده قادر به پاسخگویی در زمان مناسب نبود.

کلیدواژه‌ها: اقتصادمدور، انقلاب صنعتی چهارم (صنعت ۴.۰)، پایداری، توانمندساز، دیمتل‌فازی.

نویسنده مسئول: elhamaghgzadeh11@gmail.com

مقدمه

امروزه در صنایع مختلف، بهره‌وری و کارایی تجهیزات موجب پیشرفت تولیدات و سودآوری واحدهای تولیدی می‌شود. از کارافتادن تجهیزات و ماشین‌آلات علاوه بر هزینه تعمیرات، هزینه فرصت از دست رفته را بر واحد تولیدی متحمل می‌سازد و در صورتی که راهکاری برای جلوگیری از این هزینه‌ها ارائه و اجرا نشود، می‌تواند واحدهای تولیدی را رو به ورشکستی ببرد. لذا باید در جهت نظارت بهینه تجهیزات چاره‌ای اندیشید. واضح است، هنگام آسیب هر تجهیزی سرعت عمل برای رسیدگی به آسیب اهمیت بالای دارد و این سرعت عمل توسط نیروی انسانی امکان‌پذیر نیست. لذا برای انتقال سریع اطلاعات مربوط به هر آسیب و خرابی می‌توان از تکنولوژی‌های پیشرفته مانند سنسورها و پهپادها در بستر اینترنت استفاده کرد که ترکیب این موارد، موضوع اینترنت اشیا^۱ را یادآور می‌شود.

اینترنت اشیا یکی از مهم‌ترین عوامل مؤثر در رونق و پیشرفت کسب‌وکارهای صنعتی امروزی و آینده تلقی می‌شود. صنایع امروزی در حال تلاش هستند تا در جهت مدرنیزه کردن تجهیزات خود برآیند تا بدین طریق با سرعت، با تغییرات رو به رشد بازار خو گرفته و از تکنولوژی‌های موجود استفاده کنند. کسب‌وکارهایی که از اینترنت اشیا در زیرساخت‌های خود استفاده کرده‌اند، به‌طور چشمگیری در زمینه‌هایی همچون امنیت، بهره‌وری و همچنین سودآوری، رشد داشته‌اند. هرچه استفاده از اینترنت اشیا صنعتی افزایش یابد، میزان بهره‌وری‌های ذکر شده در صنایع نیز بالطبع افزایش خواهد یافت.

اینترنت اشیا می‌تواند حجم انبوهی از اطلاعات و داده‌ها را جمع‌آوری کند و به کارخانجات و شرکت‌ها این اجازه را دهد که بیشترین بهره‌وری را از سیستم‌ها و تجهیزات خود کسب کنند، بدون اینکه محدودیت‌های تکنولوژیکی و اقتصادی مانع این امر شوند؛ اما مسئله‌ای که در این میان موجود است این است که حجم داده‌های تولیدشده توسط اینترنت اشیاء بسیار زیاد است و این حجم داده برای پردازش به مرکز رایانش ابری^۲ فرستاده می‌شود. به دلیل اینکه روش پردازش متumerکز (ابر) منجر به تأخیرهای ارتباطی بالا شده و نرخ انتقال داده‌ها بین دستگاه‌های اینترنت اشیاء و کاربران بالقوه را پایین می‌آورد،

1. Internet of Things (IOT)

2. Cloud Computing

اجرای عملیاتی آن با مشکلاتی در شبکه مواجه است. برای حل این مشکل، اخیراً مفهوم رایانش لبه‌ای پیشنهادشده است که اجازه می‌دهد تا سرویس‌های اینترنت اشیاء به منظور پردازش داده به جای درگیرشدن در محیط ابری، در نزدیکی منابع داده و سینک‌های داده خودشان پردازش شوند. این منجر به پایین آمدن تأخیرهای ارتباطی و استفاده بهتر از منابع رایانشی، ذخیره‌سازی و منابع شبکه‌ای می‌شوند. همچنین می‌تواند در زمان اجرا و میزان مصرف انرژی را کاهش دهد که در واقع برای به کارگیری اینترنت اشیاء می‌تواند بسیار مفید باشد (Chagh, Guennoun, Jouihri, 2016, 119).

تجهیزات واحدهای تولیدی و جمع‌آوری اطلاعات آن‌ها می‌توان از رایانش لبه‌ای در بستر اینترنت اشیاء بهره گرفت.

از طرفی، پهپادها یکی از بهترین ابزارهای سنجش از راه دور برای جمع‌آوری داده‌ها در محیط‌های وسیع مانند کارخانجات هستند. آن‌ها در محیط‌های صنعتی برای حل مشکلات پیچیده، جلوگیری از خسارات احتمالی، کمک در تصمیم‌گیری و تولید با کیفیت مورداستفاده بهینه قرار می‌گیرند. پهپادها یک بستر فناوری بسیار سازگار برای جمع‌آوری داده‌های کارآمد و مقرن‌به‌صرفه و نظارت بر رویدادها هستند. برای ایجاد ارتباط مؤثر بین پهپادها و مناطق صنعتی موردنظر، استفاده از فناوری‌های مربوط به اینترنت اشیا مانند سنسورها، موقعیت‌یاب‌ها و... ضروری است. لذا با ترکیب تکنولوژی پهپادها و اینترنت اشیاء و رایانش لبه می‌توان نظارت هوشمند بر عملکرد تجهیزات صنعتی مانند توربین‌های بادی را بهبود بخشید (کاظمی و الهیان، ۱۳۹۹، ۵۴).

پیشنهاد پژوهش

باتوجه به لزوم پایش ویدیویی جهت نظارت بر محیط‌های صنعتی و قابلیت بالای پهپادها در این امر، استفاده از آن‌ها در حوزه نظارت و پایش صنعتی گسترش یافته است. در ابتدا پهپادهای نظارتی تنها وظیفه فیلمبرداری و عکسبرداری از محیط‌های موردنظر را داشتند اما به تدریج و با گسترش مفهوم اینترنت اشیاء، با نصب حسگرها بر روی آن‌ها، علاوه بر قابلیت فیلمبرداری و عکسبرداری، کارکردهای بیشتری از جمله پردازش داده‌های حاصل از فیلم‌ها و عکس‌ها و ارسال داده‌های پردازش شده به اپراتور یا ابر یا سرور را نیز پشتیبانی

کردن و درواقع تبدیل به سیستمی جهت نظارت هوشمند شدند (Al-Khafaji, 2022, 91).

سیستم‌های نظارت هوشمند ابزارهای مشاهده‌ای هستند که به طور مداوم داده‌های مربوط به عملکرد سیستم را از زیرساخت‌های فناوری اطلاعات راه دور جمع‌آوری می‌کنند و آن‌ها را از طریق یک رابط برای کاربر «ارسال» می‌کنند تا به کاربر اجازه دهند بر اساس آن داده‌ها تصمیم بگیرد. به طور خاص، نقشه‌ای از زیرساخت محل مورد نظر ارائه می‌دهد که برای عملیات و مدیریت فناوری اطلاعات کاربر مفید است. به عنوان مثال، ممکن است در بازه‌های زمانی خاصی افزایش مصرف قابل توجهی در سیستم رخ دهد که منجر به تأخیر در زمان پاسخگویی برای کاربران سیستم شود؛ بدون داده‌ها و گزارش‌های بی‌درنگ ارائه شده توسط نظارت هوشمند، ممکن است نتوان تعیین کرد که چه زمانی و چرا این جهش‌ها رخ می‌دهند. با نظارت هوشمند، می‌توان دلایل را محدود کرد و استراتژی یا زیرساخت سیستم را بر اساس آن داده‌ها تنظیم کرد (Bahhar, Chokri, Sofiene, 2021). لذا در این پژوهش با توجه به اهمیت نظارت بر تجهیزات صنعتی و توضیحاتی که در رابطه با هوشمندسازی ذکر شد، نیاز است تا به بررسی مدلی بهینه برای نظارت هوشمند بر تجهیزات صنعتی توسط پهپادها پرداخت. حول این موضوع تاکنون پژوهش‌های صورت گرفته است اما همانطور که در ادامه مشاهده می‌شود، تاکنون پژوهشی حول نظارت هوشمند توسط پهپادها با رویکرد رایانش لبه صورت نگرفته است و این مورد به عنوان خلاصه تحقیقاتی یافت شد.

قضاوی و رحمانی (۱۴۰۰)، در پژوهشی تحت عنوان ارائه مدلی برای مسیریابی پهپاد برای نظارت بر مناطق آسیب‌دیده پس از بحران، یک مدل برنامه‌ریزی خطی - عدد صحیح برای این مسئله ارائه دادند که برخلاف مسئله مسیریابی کلاسیک که فقط ترتیب بازدید مجموعه‌ای از گره‌ها را تعیین می‌کند، ارتفاع بازدید از هر گره توسط یک پهپاد نیز مشخص می‌شود. به علاوه، به علت اینکه میزان محدودیت باتری بر زمان پرواز پهپاد تأثیر می‌گذارد، مصرف انرژی هر پهپاد را در نظر خواهد گرفت تا به واقعیت نزدیک‌تر باشد. هدف از این مدل به حداقل رساندن کل زمان و برآورده کردن اولویت گره‌ها برای نظارت

طراحی مدل نظارت هوشمند بر تجهیزات صنعتی با رویکرد بهینه‌سازی ...؛ آفازاده و عالم تبریز ۹

بود که در نرم افزار گمز کدنویسی شده و عملکرد آن با یک مثال عددی مورد تحلیل قرار گرفت.

قضاوی و طباطبا (۱۳۹۹)، به بررسی کاربرد پهپادها در امنیت عمومی و پلیس هوشمند پرداختند و مزايا و معایب استفاده از انواع پهپاد در امنیت عمومی را مورد بررسی قرار دادند. همچنین تعدادی از پروتکل‌های مناسب برای استفاده پهپادها در اینترنت اشیاء را نیز معرفی و مورد تحلیل قرار دادند.

حقیقی و همکاران (۱۳۹۷)، ضمن تشریح حالت‌های مختلف پیمایش و گشت‌زنی برای سامانه‌های هوایی تک و چند فرونده، رابطه زمان کمینه بازیبینی استخراج و برای یک پهپاد مشخص با قیود بیان شده، ارتباط آن با دیگر پارامترهای پروازی بررسی کردند. همچنین تأثیر تغییر تعداد عامل‌ها و سرعت بر کارایی نظارت مداوم و کمینه‌سازی زمان بازیبینی ارزیابی شده و با حالت‌های دیگر پیمایش مقایسه گردید. نتیجه کارکردهای بیان شده در این مقاله، بسط و توسعه روابط پایه نظارت مداوم برای تعداد عامل‌های مشخص، به سایر شرایط یا سایر رفتارهای پیمایشی است. نتایج نشان می‌دهد که در سرعت‌های بالای پهپاد موردنظر، افزایش تعداد پهپاد در یک مساحت مشخص، کارایی چندانی در بهبود کمینه زمان بازیبینی ندارد و بازه‌ای بر اساس سرعت و تعداد پهپادها می‌توان تعیین نمود که در این بازه زمان بیشینه بازیبینی همواره کمینه باشد.

علی‌پور و همکاران (۱۳۸۸)، نشان دادند که پرنده‌های هدایت‌پذیر از دور (پهپاد)، نسبت به روش‌های دیگر بازرسی خطوط لوله در ایران دارای برتری هستند. پهپادها با توجه به انعطاف‌پذیری و قابلیت حمل حسگرهای متنوع می‌توانند پاسخگوی نیازهای عملیاتی خطوط لوله در ایران باشند.

آتریاسا (Athreyasa, 2021)، به تجزیه و تحلیل ترافیک جاده با استفاده از هواپیمای بدون سرنشین (پهپادها) مبتنی بر پردازش تصویر و محاسبات لبه پرداخت. او با ترکیب مفاهیم تشخیص لبه در پردازش تصویر و محاسبات لبه، یک روش ساده برای تجزیه و تحلیل ترافیک جاده با استفاده از پهپادها ارائه داد. نتایج منعکس کننده

انعطاف‌پذیری بالا و نمای واضح کلی گرفته شده توسط فیلم‌ها و عکس‌های پهپادها است و سیستم تعزیزی و تحلیل ترافیک مبتنی بر پهپاد مورد تأیید قرار گرفت.

در پژوهشی تحت عنوان پهپادهای مجهز به ۵G/IoT که توسط آل ترجمان و آل ترجمان (Alturjman, Alturjman, 2020) منتشر شد، برای تحویل چندرسانه‌ای در برنامه‌های صنعت‌گرا، به طراحی و مسیریابی چندراهی جدا از هم^۱ در اینترنت صنعتی اشیا برای سیستم تحمل خطا با استفاده از پهپاد برای انتقال چندرسانه‌ای به یک گره موفق در شبکه WSN ناهمگن دو رده‌یقه پرداختند. نتایج این پژوهش نشان داد رویکرد پیشنهادی CPS در مقایسه با بهینه‌سازی CPMS متداول و بهینه‌سازی FMPS، روش بهتری است.

در پژوهش دیگری لفورویچ و همکاران (Wulfovich, Rivas, Matabuena, 2020)، عملکرد پهپادها را در صورت عملیات نجات، فوریت‌های پزشکی کشف مورد بررسی قرار دادند. پارامترهای مختلف مانند سرعت پهپادها، مسافت پهپادها تا ایستگاه‌های مرکزی، مصرف انرژی پهپادها برای در ک عملکرد پهپادها بسیار مهم هستند. بر اساس این مطالعه پهپادها تأثیر زیادی در پزشکی از راه دور و بهداشت دارند.

پژوهشی تحت عنوان بازرگانی روتین مجهز به پهپاد مبتنی بر رایانش لبه متحرک در مزرعه بادی توسط کائو و همکاران (Cao, Chao, Shengli, Kan, 2019) مدلی را جهت نظارت بر عملکرد توربین‌های بادی ارائه نمود که شامل سه بخش زمینی، فضایی و هوایی بود. در این مدل یک پهپاد با عکس‌برداری از تجهیزات توربین و ارسال اطلاعات به سرور لبه از خدمات ناشی از خرابی توربین‌ها جلوگیری می‌کرد. نتایج این پژوهش نشان‌دهنده بهینگی مدل پیشنهادی بود.

پژوهشی که توسط ساله‌یوی و همکاران (Salhaoui, Guerrero, Antonio, Arioua, 2019) ارائه شد، به بررسی سیستم هوشمند نظارت و کنترل اینترنت اشیا مبتنی بر پهپاد و رایانش ابری اعمال شده در یک کارخانه بتون پرداخته است. در محیط‌های مختلف کارخانه پهپاد، اطلاعات حاصل از تصویربرداری را به ایستگاه زمینی ارسال کرده و سیستم پیشنهادی توسط رایانش ابری پس از جمع آوری

1. K-Disjoined Multipath

۵۲۰۰ نمونه به بررسی بهینه‌سازی نحوه قرارگیری پهپاد در مکان‌های مختلف و میزان تأخیر کل می‌پردازد. نتایج به دست آمده به وضوح امکان برقراری مدل پیشنهادی را در ارائه یک سیستم مطمئن و کارآمد برای کنترل از راه دور پهپاد برای بهبود کیفیت محصول و کاهش ضایعات نشان داد.

نا و همکاران (2019) Na, Mengshu, Jun, 2019، به ارائه یک مدل ارتباطی بیسیم چندحامل^۱ به کمک پهپاد برای سناریوهای اینترنت اشیا پرداختند. در این پژوهش از الگوریتم تکرار جایگزین^۲ استفاده شد. ابتدا، برای مسیر پهپاد، با استفاده از روش چندمنظوره لاگرانژ، مجموعه زیر حامل، قدرت زیر حامل و تخصیص زیر لبه بهینه می‌شوند. سپس، برای تنظیم مجموعه ثابت حامل، قدرت زیر حامل و تخصیص زیر لبه، مسیر پهپاد توسط CVX برای حالت یک پرواز و حالت پرواز دورهای بهینه می‌شود. درنهایت، تابع هدف با بهینه‌سازی تخصیص منابع و مسیر پهپاد به طور تکراری حل می‌شود. الگوریتم پیشنهادی می‌تواند مسیر پهپاد را بهینه کند و با حرکت گره سازگار شود. در مقایسه با طرح‌های متداول تخصیص منابع، طرح پیشنهادی نه تنها به میزان قابل توجهی نرخ حداقل قابل دستیابی را افزایش می‌دهد، بلکه برای دو حالت پرواز نیز به خوبی کار می‌کند.

لاگکاس و همکاران (Lagkas, Bibi, Argyriou, Panagiotis, 2018)، به طراحی

سیستمی جهت امنیت پهپادهای غیرنظمی در صنایع به عنوان شیء در اینترنت اشیاء پرداختند. پارامترهای اصلی این پژوهش امنیت و حریم خصوصی پهپادها در شبکه‌های توزیع برق و شبکه خونرسانی بیمارستان‌ها بود که با استفاده از سنسورهای مادون قرمز، اینفراراد و سنسورهای موقعیت‌یاب چارچوبی جهت ایجاد شبکه پهپادها به عنوان جزئی از اینترنت اشیاء ارائه و کارایی آن تأیید شد.

در تحقیق حاضر، مدلی ترکیبی از اینترنت اشیاء و پهپادهای غیرنظمی جهت نظارت هوشمند بر عملکرد تجهیزات صنعتی با رویکرد رایانش لبه ارائه شده است که به عنوان مطالعه موردی توربین‌های بادی موردنبررسی قرار گرفت. مدل ارائه شده توسط روش‌های

1. Multi- Carrier

2. Alternative Iteration Algorithm

ژنتیک با مرتب‌سازی ناچیره و روش محدودیت اپسیلن تقویت‌شده با استفاده از اعداد تصادفی حل شده است.

جنبه نوآوری پژوهش

براساس مطالعه پیرامون موضوعات اینترنت اشیاء، نظارت هوشمند، رایانش لبه و پهپادهای غیرنظمی، مقالات زیادی در رابطه با هر یک از این موضوعات منتشر شده‌اند. تعدادی از مقالات به نظارت هوشمند بر مبنای اینترنت اشیاء پرداخته‌اند. تعداد دیگری از مقالات به نظارت هوشمند بر مبنای اینترنت اشیاء با استفاده از پهپادها پرداخته‌اند؛ اما مقاله‌ای که از مفهوم رایانش لبه جهت نظارت هوشمند بر مبنای اینترنت اشیاء بهره گرفته باشد، موجود نیست و این مسئله نشان‌دهنده جدید بودن موضوع پژوهش است.

همچنین در رابطه با مدل ارائه‌شده در این پژوهش، لازم به ذکر است که دلایل وجود محدودیت‌ها و توابع هدف با توضیحات کامل در بخش مراحل اجرای پژوهش شرح داده شده است و دو تابع هدف و شش محدودیت مدل پیشنهادی به‌طور کامل جزو نوآوری پژوهش محسوب می‌شود و از مرجع دیگری اقتباس نشده است.

روش پژوهش

از آنجایی که مدل این پژوهش از نوع چندهدفه است و برای حل آن نیازمند روش‌های بهینه‌سازی چندهدفه هستیم، در این بخش به معرفی و تشریح دو روش محدودیت اپسیلن تقویت‌شده و الگوریتم فراتکاری ژنتیک با مرتب‌سازی ناچیره (نسخه دوم) پرداخته‌ایم. روش محدودیت اپسیلن علی‌رغم دارا بودن مزیت‌های فراوان نسبت به روش وزن‌دهی، در موارد زیر باید به آن توجه کرد (Mavrotas, 2009):

- ۱) محاسبه دامنه توابع هدف در مجموعه کارا
 - ۲) تضمین کارا بودن جواب به‌دست‌آمده
 - ۳) افزایش زمان حل مسئله در صورت وجود بیش از دو تابع هدف
- به منظور اعمال روش محدودیت اپسیلن باید دامنه هر یک توابع هدف (حداقل $k-1$) تابع

هدف که در محدودیت‌ها قرار می‌گیرند) را در اختیار داشته باشیم. در روش محدودیت اپسیلن بهترین و بدترین مقادیر به راحتی از طریق بهینه‌سازی تک‌هدفه و با قرار دادن هدف مورد نظر به عنوان تابع هدف مدل، محاسبه می‌شوند که این روش تضمین کننده به دست آوردن جواب‌های کارا برای بهینه‌سازی تک‌هدفه هر تابع هدف نمی‌باشد.

در روش محدودیت اپسیلن تقویت شده به منظور غلبه بر ضعف‌های موجود در روش محدودیت اپسیلن، برای محاسبه مقادیر جدول نتایج نهایی، برای هر تابع هدف از روش لکسیکوگراف استفاده می‌کند. درنتیجه جدول نتایج نهایی در این روش تنها از جواب‌های کارا تشکیل می‌شود. همچنین جواب‌های به دست آمده از روش محدودیت اپسیلن، ممکن است منجر به جواب کارای ضعیفی شود. بدین منظور، روش محدودیت اپسیلن تقویت شده محدودیت‌های مربوط به توابع هدف فرعی را با قرار دادن متغیرهای کمکی به تساوی تبدیل می‌کند (Mavrotas, 2009).

الگوریتم ژنتیک در ابتدا با مجموعه‌ای از جواب‌های تصادفی که به آن جمعیت اولیه گفته می‌شود، آغاز می‌گردد. جمعیت از تعدادی کروموزوم تشکیل می‌شود که هر کروموزوم نشان‌دهنده یک نقطه از فضای جواب می‌باشد. هر کروموزوم نیز از تعدادی ژن تشکیل می‌شود که هر ژن نشانگر یک ویژگی خاص است. در هر تکرار از الگوریتم، کروموزوم‌ها ارزیابی می‌شوند. کروموزوم‌های با شایستگی بالاتر شانس بیشتری برای تولید فرزندان دارند. بر همین اساس، عمل انتخاب والدین انجام می‌گیرد و با اعمال عملگرهای ژنتیک بر روی آن‌ها فرزندان تولید شده و جمعیت تکرار بعدی الگوریتم را تشکیل می‌دهند (Pasandideh, Niaki, 2012).

در الگوریتم ژنتیک به منظور تولید فرزندان از جمعیت والد و تولید جمعیت برای تکرارهای بعدی الگوریتم، از عملگرهای انتخاب^۱، تقاطع^۲ و جهش^۳ استفاده می‌شود. الگوریتم ژنتیک با مرتب‌سازی ناچیره^۴ بر اساس الگوریتم ژنتیک برای حل مسائل

-
1. Selection Operator
 2. Crossover Operator
 3. Mutation Operator
 4. Non-Dominated Sorting Genetic Algorithm (NSGA)

چندهدفه توسعه داده شده است. در این تحقیق به منظور حل مدل ارائه شده در ابعاد بزرگ و به دلیل کاهش کارایی روش حل دقیق ارائه شده در بخش‌های پیشین، نسخه دوم روش فرآبتكاری ژنتیک با مرتب‌سازی ناچیره پیشنهاد شده است.

مراحل اجرای پژوهش

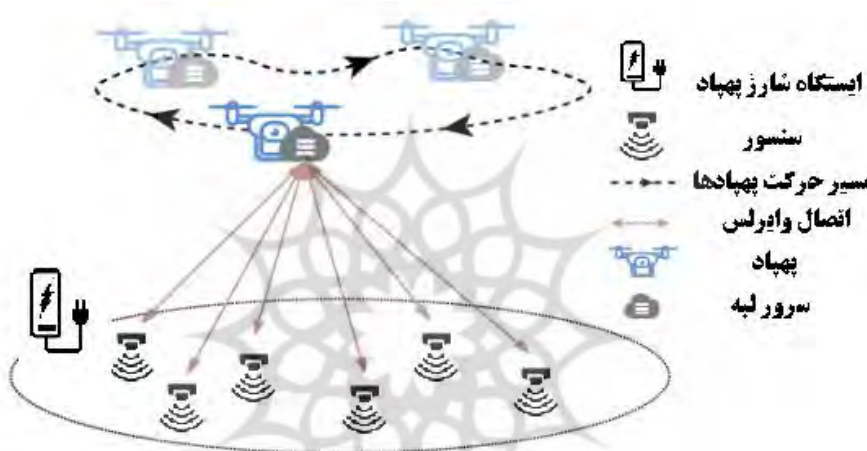
مراحل اجرای این تحقیق به صورت زیر است:

الف- تولید داده با استفاده از پهپادها: با استفاده از پهپادهایی که روی محدوده مورد نظر مستقر شده‌اند، از تجهیزات صنعتی مورد مطالعه در بازه‌های زمانی مشخص تصویربرداری می‌شود. در ابتدا پهپادها بر روی محدوده قرار گرفته‌اند و شروع به پرواز می‌کنند و با استفاده از دوربین پیشرفته‌ای که بر روی آن‌ها نصب شده است، از قسمت‌های مختلف تجهیزات صنعتی عکس‌برداری می‌کنند. عکس‌برداری تا جایی ادامه می‌یابد که شارژ پهپاد در حال پرواز به اتمام برسد. پس از کاهش شارژ، پهپاد به محلی از محدوده صنعتی که ایستگاه شارژ قرار گرفته است فرود می‌آید تا شارژ مجدد شود و پهپادی که شارژ دارد شروع به پرواز می‌کند. این فرآیند آنقدر ادامه می‌یابد تا از تمامی تجهیزات مورد بررسی عکس‌برداری شود.

ب- رایانش لبه و رایانش ابری: یک سرور لبه جهت دریافت و پردازش داده‌های ارسالی از پهپادها در بخشی از محدوده صنعتی مستقر شده است و پهپادها پس از عکس‌برداری از هریک از تجهیزات اطلاعات حاصل از عکس‌برداری را به سرور لبه یا ابر جهت پردازش ارسال می‌کنند. اینکه تخلیه اطلاعات در لبه صورت گیرد یا ابر بستگی به مدت زمان موردنیاز برای تخلیه اطلاعات و انرژی موردنیاز دارد. لازم به ذکر است که هم بر روی تجهیزات صنعتی و هم بر روی پهپادها، سنسورهای مختلفی از قبیل سنسور تشخیص فاصله، سنسور ژیروسکوپ (سرعت زاویه‌ای) جهت تشخیص سرعت حرکت تیغه توربین، سنسور تشخیص حرکت جهت تشخیص حرکت تیغه‌های توربین، سنسور تشخیص آتش و شعله، سنسور تشخیص رنگ برای بررسی زدگی یا شکستگی در تیغه توربین‌ها نصب می‌گردد. در این پژوهش، یک مزرعه بادی در نظر گرفته شده است که در آن تعداد زیادی

توربین بادی برای تولید برق وجود دارد. در این مزرعه یک پست ترانسفورماتور مجهز به سرور لبه قرار گرفته است تا پوشش محدودی برای خدمات ارتباطی و محاسباتی برای پهپاد ایجاد کند. همچنین این ترانسفورماتور مجهز به ایستگاه شارژ پهپاد است. در مدل پژوهش، چندین پهپاد وجود دارد که مجهز به دوربین HD، واحدهای ارتباطی و واحدهای محاسباتی هستند. شکل ۱، نمای کلی معماری مدل پژوهش را نشان می‌دهد:

شکل ۱. طریقه عملکرد سیستم پیشنهادی



مأموریت پهپاد شناسایی N توربین بادی در مزرعه مورد نظر است. از آنجاکه شارژ پهپاد محدود است، برای شناسایی تمام توربین‌ها پهپاد نیازمند انجام K پرواز است. مجموعه N توربین بادی با $\{1, 2, \dots, N\}$ و مجموعه K پرواز با $\{1, 2, \dots, K\}$ مشخص می‌شوند. هر پرواز پهپاد شامل سه مرحله تشخیص تیغه توربین، انتقال محاسبات و شارژ مجدد است. پس از شارژ شدن پهپاد، در مسیر برنامه‌ریزی شده پرواز مجدد را شروع می‌کند و زمانی که به یک توربین بادی می‌رسد، شروع به تشخیص و بررسی آن می‌کند و با عکس برداری و فیلم برداری و همچنین استفاده از سنسور تشخیص رنگ نصب شده بر روی پهپاد، وضعیت سطح تجهیزات توربین به ویژه تیغه‌های آن مشخص می‌شود. بدین صورت که فرضیاً اگر رنگ تیغه سالم پهپاد سفید باشد، در صورت شکستگی بخشی از تیغه، در قسمت

شکسته شده رنگ سفید توسط سنسور تشخیص داده نمی‌شود. پس از اینکه عکس‌برداری انجام شد، پهپاد باید داده‌های خود را توسط سرور لبه یا ابر پردازش کند و در نهایت به ابر ارسال کند. با توجه به اهمیت زمان و به هنگام بودن داده‌های یافته شده، پهپاد باید قبل از تشخیص توربین بعدی داده‌ها را پردازش کند. زمانی که تمامی توربین‌های مسیر مورد بررسی تشخیص داده شدند، پهپاد برای شارژ به ترانسفورماتور بازمی‌گردد. پس از شارژ شدن پهپاد برای پرواز در مسیر جدید بلند شده و این فرآیند تا زمانی که تمامی توربین‌ها مورد بررسی قرار گیرند، ادامه می‌یابد.

برای مدل‌سازی این فرآیند، سیستم مختصات سه‌بعدی اقلیدسی جهت اندازه‌گیری فاصله‌ها به کار رفته است. در این سیستم فرض بر این است که مرکز تیغه توربین‌ها همگی در ارتفاع Z_n از زمین قرار گرفته‌اند و موقعیت افقی آن‌ها از نظر عرض و ارتفاع با $(x_n, y_n) = l_n$ نمایش داده می‌شود. همچین فرض بر این است که ترانسفورماتور در مرکز زمین و در ارتفاع H_0 قرار گرفته است $(0, 0, H_0)$. پهپادها در حین فرآیند تشخیص توربین در ارتفاعی برابر تیغه توربین‌ها (Z_n) هستند. در حالی که پهپاد در طول فرایند پرواز و تخلیه اطلاعات به دست آمده برای کاهش تأثیر باد در کمترین ارتفاع Z_s در حال پرواز است، زیرا سرعت باد با ارتفاع پرواز افزایش می‌یابد. مختصات قرارگیری پهپاد در زمان t با $q[t] = (x_t, y_t)$ نمایش داده می‌شود. $t \in T$ و $T = \{1, 2, \dots, T\}$.

بنابراین، فاصله بین پهپاد و ترانسفورماتور $(d_{TS,t})$ و فاصله بین پهپاد و توربین‌ها $(d_{n,t})$ از طریق روابط زیر محاسبه می‌شود:

$$d_{TS,t} = \sqrt{x_t^2 + y_t^2 + (z_s - H_0)^2} \quad (1)$$

$$d_{n,t} = \sqrt{(x_t - x_n)^2 + (y_t - y_n)^2} \quad (2)$$

در فرآیند تشخیص، فرض می‌شود که زمان تشخیص توسط پهپاد ثابت (t_d) و وابسته به اندازه تیغه توربین است. برای اطمینان از دقت تشخیص، پهپاد باید به پرهای توربین نزدیک شود. با توجه به این‌که ممکن است سرعت باد در هر زمان تغییر کند، هنگامی که در حین فرایند تشخیص وزش باد رخ داد، ممکن است باعث برخورد پهپاد

با پرهای توربین و صدمه به هر دو شود. برای جلوگیری از آسیب به تیغه ناشی از برخورد پهپاد، فاصله تشخیص ایمنی با رابطه $d_s = v_w t_s$ به دست می‌آید که در آن v_w سرعت باد و t_s مدت زمان عکس العمل پهپاد پس از وزش باد است.

دقت تشخیص دوربین با افزایش فاصله تشخیص بین پهپاد و توربین کاهش می‌یابد. برای محاسبه رابطه بین فاصله تشخیص و احتمال تشخیص موفق، از یک مدل احتمالاتی که در مقاله ژانگ و همکاران آمده، استفاده شده است.

$$P_s = e^{-\lambda d_s} \quad (3)$$

که λ پارامتری است که عملکرد دوربین را منعکس می‌کند.

در این پژوهش فرض شده که کanal بی‌سیم بین پهپاد و ترانسفورماتور قرار دارد. بنابراین با توجه به مقاله ژو و همکاران (Zhao, Zhou, Guo, X, Zhao, Niu, 2016) افزایش قدرت این کanal از رابطه زیر به دست می‌آید:

$$g_t = \beta_0 d_{TS,t}^{-2} \quad (4)$$

میزان افزایش قدرت کanal در فاصله $d=1m$ است.

باتوجه به قدرت انتقال اطلاعات در هر پهپاد ($P_0[n]$ ، نرخ انتقال اطلاعات در $Zhang, Mao, Leng, (r_{t_0}[n])$ ام (n)) براساس پژوهش ژانگ و همکاران (Vinel, Zhang, 2016) توربین t_0 از رابطه زیر به دست می‌آید:

$$r_{t_0}[n] = B \log_2 \left(1 + \frac{P_0[n] g_t}{\sigma^2} \right) \quad (5)$$

که در آن، B پهنای باند ارتباط و σ^2 واریانس نویز سفید با میانگین صفر است. بنابراین، میزان انتقال محاسبات $R_{t_0}[n]$ و میزان مصرف انرژی در انتقال محاسبات $E_{t_0}[n]$ در زمان $[n]$ در حالتی که اطلاعات به ترانسفورماتور منتقل شوند از رابطه زیر به دست می‌آید:

$$R_{t_0}[n] = r_{t_0}[n] t_0[n] \quad (6)$$

$$E_{t_0}[n] = P_0[n] t_0[n] \quad (7)$$

در محیط‌های بزرگ، با افزایش فاصله انتقال، در مسیر کanal انتقال موانعی^۱ قرار می‌گیرد و این مورد باعث کاهش نرخ موفقیت در انتقال می‌شود. در این رساله برای محاسبه احتمال موفقیت در ارسال اطلاعات از مدل احتمال 3GPP استفاده شده است که به صورت زیر است:

$$Pr_{t0} = \begin{cases} 1, & d_{TS} \leq d_{t0} \\ \frac{d_{t0}}{d_{TS}} + e^{\frac{-d_{TS} + d_{t0}}{P_0}}, & d_{TS} > d_{t0} \end{cases} \quad (8)$$

که در رابطه فوق، $d_{t0} = 294/0.5\log(z_s) - 94/432$ آستانه موفقیت انتقال در ارتفاع z_s است و $P_0 = 233/0.98\log(z_s) - 0/95$ می‌باشد. بنابراین با توجه به روابط (۳) و (۸)، احتمال موفقیت در انتقال داده معتبر توسط پهپاد به ترانسفورماتور برابر است با:

$$Pr_{suc}[n] = Pr_s * Pr_{t0}[n] \quad (9)$$

بنابراین، در حالت انتقال اطلاعات به ترانسفورماتور، به منظور کاهش احتمال از دست دادن بسته اطلاعاتی و مصرف انرژی بارگیری، پهپاد باید نزدیک ترانسفورماتور حرکت کند.

در صورتی که پهپاد اطلاعات را توسط شبکه مخابراتی به ابر منتقل کند، فرض می‌شود که نرخ انتقال اطلاعات به ابر r_{so} (که کوچک‌تر از نرخ انتقال به ترانسفورماتور است) به صورت خطی وابسته به قدرت انتقال اطلاعات $P_0[n]$ است. سپس میزان انتقال اطلاعات به ابر ($R_{so}[n]$) و تخلیه مصرف انرژی ($E_{so}[n]$) در زمان تخلیه $t_0[n]$ زمانی که اطلاعات به سمت ابر منتقل می‌شود به صورت زیر محاسبه می‌گردد:

$$R_{so}[n] = r_{so}[n]t_0[n] \quad (10)$$

$$E_{so}[n] = P_0[n]t_0[n] \quad (11)$$

به منظور استفاده بهینه از انرژی، پهپاد می‌تواند فرکانس $f[n]$ CPU را با توجه به کار محاسبه به صورت تطبیقی تنظیم کند. مقدار محاسبه $R_c[n]$ و مصرف انرژی محاسبه

در زمان محاسبه $t_c[n]$ را می‌توان به صورت زیر محاسبه کرد:

$$R_c[n] = \frac{t_c[n]f[n]}{C_u} \quad (12)$$

$$E_c[n] = \theta_u t_c[n]f[n]^3 \quad (13)$$

که C_u تعداد چرخه‌های CPU برای تکمیل محاسبات را نمایش می‌دهد و θ_u ضریب خازنی مؤثر^۱ CPU است. از آنجاکه همه داده‌های حسی باید قبل از شروع تشخیص توربین بعدی پردازش شوند، محدودیت پردازش داده‌ها را به شرح زیر می‌باشد:

$$R_c[n] + (1 - \sigma)R_{t_0}[n] + \sigma R_{so}[n] \geq R_n \quad , \forall n \in N \quad (14)$$

که R_n مقدار داده‌های حسی توربین n است و به وضعیت آسیب تیغه مربوط می‌شود. $\{\cdot, 1\} = \sigma$ که مربوط به نوع ارسال اطلاعات است. $\cdot = \sigma$ به معنی انتقال اطلاعات به ترانسفورماتور و $1 = \sigma$ مربوط به ارسال اطلاعات به ابر است. علاوه بر این، با توجه به محاسبه حالت بارگذاری، می‌توانیم مصرف انرژی پردازش مربوطه را برای هر توربین بادی به صورت زیر به دست آوریم:

$$E_p[n] = E_c[n] + (1 - \sigma)E_{t_0}[n] + \sigma E_{so}[n] \quad (15)$$

در حالت انتقال اطلاعات به ترانسفورماتور پهپاد می‌تواند محاسبه محلی را تا زمانی که تمام داده‌های حسی پردازش شوند انجام دهد. بنابراین مدت زمان فرآیند محاسبات برابر است با مجموع مدت تشخیص توربین (t_d) و مدت زمان پرواز از نقطه تشخیص به نقطه انتقال اطلاعات ($t_{so}[n]$) و مدت زمان محاسبات ($t_o[n]$) و مدت زمان پرواز از نقطه انتقال به توربین بعدی ($t_{os}[n]$) که مطابق رابطه زیر محاسبه می‌شود:

$$T_{P,to}[n] = t_d + t_{so}[n] + t_o[n] + t_{os}[n] \quad (16)$$

همچنین در صورتی که انتقال اطلاعات به ابر صورت گیرد، مدت زمان فرآیند محاسبات از رابطه زیر به دست می‌آید:

1. Effective capacitance coefficient.

$$T_{P,so}[n] = t_d + t_c[n] \quad (17)$$

که در آن $t_c[n]$ مدت زمان انتقال اطلاعات به ابر است.
بنابراین با توجه به روابط ذکر شده، مدت زمان انتقال اطلاعات برای هر توربین در
حالت کلی به صورت زیر محاسبه می شود:

$$T_f[k] = t_{f_1}[k] + \sum_1^{N_k} ((1 - \sigma) T_{p,to}[n] + \sigma T_{p,so}[n]) \quad (18)$$

که در آن، $t_{f_1}[k]$ مدت زمان پرواز پهپاد از ایستگاه شارژ به سمت اولین توربین در
امین پروازو N_k مجموعه توربین های منتخب در k امین پرواز است.
صرف انرژی در پرواز پهپاد

سرعت پرواز پهپاد را می توان از رابطه زیر به دست آورد:

$$v_u = \frac{\|q_{t+1} - q_t\|}{t} \quad (19)$$

بنابراین، مدت زمان پرواز در k امین پرواز برابر است با:

$$T_d[k] = \frac{q_k}{v_u} \quad (20)$$

اما در فرآیند پرواز، پهپاد باید با سرعت باد مقاومت کند و لذا، سرعت نسبی پهپاد
برابر است با:

$$v_p = v_u - v_w \quad (21)$$

همچنین برای رعایت موارد ایمنی، بیشینه سرعت مجاز پهپاد برابر است با v_{max} .
از طرفی، انرژی موردنیاز پهپاد از مصرف انرژی محرکه و انرژی بالقوه گرانشی که
باید بر آن غلبه کرد، تشکیل شده است که با استفاده از رابطه زیر محاسبه می گردد:

$$E_f[t] = \frac{1}{2} m v_p^2 t_f + m g t_f = \frac{m v_p^2 s + m g s}{2 v_u} \quad (22)$$

که در رابطه فوق، m برابر وزن پهپاد، g گرانش زمین، t_f مدت زمان پرواز و s فاصله
پرواز است. در فرآیند تشخیص توربین توسط پهپاد، برای اطمینان از دقت تشخیص،
پهپاد باید بر سرعت باد غلبه کند تا جابجایی هایی که منجر به کاهش دقت دوربین

می‌شود از بین برود. بنابراین، با توجه به مصرف انرژی برای پرواز و همچنین مصرف انرژی در فرآیند تشخیص هر توربین، مجموع انرژی مصرف شده توسط پهپاد از رابطه زیر محاسبه می‌شود:

$$E_k = \sum_0^{T_f[k]} E_f[t] + \sum_1^{N_k} E_p[n] \quad (23)$$

با توجه به محدود بودن انرژی باقی پهپاد، محدودیت زیر را می‌توان تعریف کرد:

$$E_k \leq E_u, k \in K \quad (24)$$

که E_u بیشترین ظرفیت باقی پهپاد است.

زمانی که یک پرواز به طور کامل انجام شد، مدت زمان شارژ در K امین پرواز

تحت قدرت شارژ d_c برابر است با:

$$T_{ch}[k] = \frac{E_k}{d_c} \quad (25)$$

با توجه به اینکه تصویربرداری توسط پهپاد از مزرعه بادی باید در یک روز انجام شود، لذا در این مسئله مجموع انرژی مصرفی در پهپاد مورد مدل‌سازی قرار گرفته است و به عنوان تابع هدف اول استفاده می‌شود و احتمال موفقیت در ارسال اطلاعات توسط پهپاد به عنوان تابع هدف دوم در نظر گرفته شده است. بنابراین مدل ریاضی زیر ارائه می‌گردد:

$$Z1: \min_{\gamma} \sum_0^K \beta E_k (T_f[K] + T_{ch}[k])$$

$$Z2: \min_{\gamma} \sum_0^K (1 - Pr_{suc}[n])$$

$$C_1: Pr_{suc}[n] \geq Pr_{th}, \quad \forall n \in N$$

$$C_2: v_p[t] \leq v_{max}, \quad \forall t \in T$$

$$C_3: 0 \leq P_0[n] \leq P_{0,max}, \quad \forall n \in N$$

$$C_4: 0 \leq f[n] \leq f_{max}, \quad \forall n \in N$$

$$C_5: q[0] = q[T] = q_0$$

$$C_6: R_c[n] + (1 - \sigma)R_{t_0}[n] + \sigma R_{so}[n] \geq R_n$$

$$C_7: E_k \leq E_u, k \in K$$

محدودیت ۱) این محدودیت بیان می کند که احتمال موفقیت در انتقال داده معتبر توسط پهپاد به لبه همواره کوچک‌تر از آستانه این احتمال است. فرمول محاسبه $Pr_{suc}[n]$ در رابطه ۹ بیان شده است.

محدودیت ۲) این محدودیت بیان می کند که سرعت پرواز پهپاد همواره کوچک‌تر از بیشینه سرعت پهپاد است.

محدودیت ۳) این محدودیت بیان می کند که قدرت انتقال اطلاعات توسط پهپاد همواره کوچک‌تر از مقدار بیشینه آن است.

محدودیت ۴) این محدودیت بیان می کند که فرکانس محاسبات همواره کوچک‌تر از بیشینه فرکانس محاسبات است.

محدودیت ۵) این محدودیت بیان می کند که مختصات مکان اولیه و نهایی پهپاد یکسان است و پهپاد در همان مختصاتی که شروع به پرواز کرده است، فرود می آید.

محدودیت ۶) این محدودیت در رابطه ۱۴ شرح داده شده است.

محدودیت ۷) این محدودیت در رابطه ۲۴ شرح داده شده است.

جدول ۱. پارامترها و متغیرهای مدل پیشنهادی

پارامتر/متغیر	شرح
$T_f[K]$	مدت‌زمان انتقال اطلاعات برای هر پهپاد
$T_{ch}[k]$	مدت‌زمان شارژ در K امین پرواز
$Pr_{suc}[n]$	احتمال موفقیت در انتقال داده معتبر توسط پهپاد به لبه
Pr_{th}	آستانه احتمال موفقیت در انتقال داده معتبر توسط پهپاد به لبه
$v_p[t]$	سرعت پرواز پهپاد
v_{max}	بیشینه سرعت پرواز پهپاد
$P_0[n]$	قدرت انتقال اطلاعات توسط پهپاد

پارامتر/متغیر	شرح
$P_{0,max}$	بیشینه قدرت انتقال اطلاعات توسط پهپاد
$f[n]$	فرکانس محاسبات
f_{max}	بیشینه فرکانس محاسبات
$q[0]$	مختصات مکان اولیه پهپاد (لبه)
$q[T]$	مختصات مکان پهپاد در هر لحظه
β	هزینه هر واحد انرژی مصرفی در پهپاد
E_k	مجموع انرژی مصرف شده توسط پهپاد
E_u	بیشینه ظرفیت باتری پهپاد
γ	مجموعه متغیرهای بهینه شامل $[T], q[n], f[n], P_0[n]$

لذا با توجه به مدل بسط یافته، اندیس مدل به شرح جدول ۱ است:

جدول ۲. اندیس‌های مدل پیشنهادی

اندیس	توضیح اندیس
n	شماره پهپاد
k	شماره پرواز

برای حل مدل لازم است تا برای پارامترهای مدل مقداری فرضی در نظر گرفت که در جدول ۲ مشاهده می‌شود:

جدول ۳. پارامترهای فرضی مدل پیشنهادی

پارامتر	مقدار
ارتفاع توبیی تیغه توربین‌ها نسبت به زمین	۵۰ متر
پهنهای باند ارتباطی (B)	MHz ۱۰
واریانس نویز (σ^2)	-96 dBm
افزایش قدرت کانال (β_0)	-50 dB
حداکثر قدرت انتقال ($P_{0,max}$)	33 dBm
ضریب خازنی مؤثر (θ_u)	۲۸-۱۰

مقدار	پارامتر
10 GHz	ماکریم فرکانس CPU
15 m/s	حداکثر سرعت پیشرانه پهپاد (v_{max})
۰,۹	حداقل میزان موفقیت در ارسال اطلاعات (Pr_{th})

برای بررسی و تحلیل مدل پیشنهادی ارائه شد، تعدادی مثال عددی در ابعاد مختلف به کمک روش محدودیت اپسیلن تقویت شده در نرم افزار گمز ۲۶,۱,۲ کدنویسی شده است.

یافته ها

نمودار زمان حل این روش به ازای آزمایشات عددی در ابعاد مختلف در شکل ۲ نشان داده شده است. همان طور که در نمودار مشاهده می شود با اندکی افزایش در ابعاد مسئله، زمان حل به شدت افزایش می یابد. بنابراین به دلیل پیچیدگی بالای مسئله روش حل دقیق محدودیت اپسیلن قادر به محاسبه جواب پارتو در زمان معقول نمی باشد. به همین منظور در ادامه این پژوهش، به ارائه روش حل فرالبتکاری پرداخته خواهد شد.

در جدول ۱، M تعداد توربین های موجود در مزرعه بادی، N تعداد پهپادهای موجود برای پرواز است که مسئله برای شرایط (ابعاد) مختلف توسط روش محدودیت اپسیلن تقویت شده حل شده و نتایج آن در جدول ۳ مشخص است.

شکل ۲. نمودار زمان حل روش محدودیت اپسیلن تقویت شده در آزمایشات عددی مختلف



حل آزمایشات عددی به کمک روش ژنتیک با مرتب‌سازی ناچیره

در این الگوریتم به ترتیب از عملگرهای انتخاب، تقاطع و جهش استفاده شده است.

عملگر انتخاب: در این پژوهش، از روش انتخاب مسابقه‌ای برای عملگر انتخاب استفاده شده است. در روش انتخاب مسابقه‌ای در هر بار دو کروموزوم به‌طور تصادفی انتخاب و جواب بهتر وارد استخراج شود. انتخاب کروموزوم‌ها بر اساس عدد تصادفی صحیح بین ۱ تا اندازه جمعیت تعیین شده است.

عملگر تقاطع (جابجایی): در هر بار دو کروموزوم به‌طور تصادفی انتخاب می‌شود و عملگر تقاطع روی آن‌ها اعمال می‌شود که در این پژوهش از عملگرهای تقاطع پیوسته و تقاطع تک نقطه‌ای استفاده شده است. عملگرهای تقاطع به صورت تصادفی با استفاده از عدد صحیح تصادفی بین ۱ و ۲ انتخاب می‌شوند. انتخاب نوع عملگر تقاطع بر اساس این عدد تصادفی است.

عملگر جهش: در این پژوهش از عملگر جهش جانشینی و باهدف ایجاد تنوع در جمعیت ایجاد شده است که در آن در هر بار یک کروموزوم به‌طور تصادفی انتخاب شده و دو ژن از هر کروموزوم هم به صورت تصادفی انتخاب و با یکدیگر جابجا می‌شوند.

در این بخش، مثال‌های عددی بخش قبل (محدودیت اپسیلن) به همراه تعدادی آزمایشات عددی در ابعاد بزرگ‌تر، به کمک نسخه دوم الگوریتم فراتکاری ژنتیک با مرتب‌سازی ناچیره در نرمافزار متلب ۲۰۱۵ کدنویسی شده است. نتایج به‌دست آمده مطابق با جدول ۳ می‌باشد. مقادیر معیارهای عملکرد جواب‌های پارتو نیز برای هر یک از آزمایشات عددی حل شده به روش ژنتیک با مرتب‌سازی ناچیره، به شرح جدول ۴ است. همان‌طور که ملاحظه می‌شود روش ژنتیک با مرتب‌سازی ناچیره آزمایشات در ابعاد بزرگ، که روش محدودیت اپسیلن از حل آن‌ها عاجز بود، را به خوبی و در زمان معقول پاسخ داد.

جدول ۴. نتایج حل مدل با استفاده از روش محدودیت اپسیلن تقویت شده

شماره مثال	ابعاد مسئله (M-N)	مقدار ni	زمان حل (ثانیه)	شماره جواب پارتویی	مقدار تابع هدف اول	مقدار تابع هدف دوم
۱	۱-۵	۵	۴۷/۸۱۸	۱	۱۰۹۳۸۵	۰/۰۳۷
				۲	۱۰۷۳۸۴	۰/۰۴۱
				۳	۱۰۲۴۷۵	۰/۰۵۷
۲	۲-۱۰	۵	۱۷۶/۵۶۴	۱	۲۴۹۲۸۴	۰/۰۴۲
				۲	۲۳۹۵۹۳	۰/۰۳۷
				۳	۲۱۶۸۳۵	۰/۰۵۵
۳	۳-۲۰	۷	۷۸۶/۷۲۳	۱	۳۸۹۲۸۲	۰/۰۳۸
				۲	۳۶۲۸۴۸	۰/۰۴۴
				۱	۷۲۸۵۹۳	۰/۰۳۸
۴	۴-۳۰	۱۰	۲۷۴۵/۷۱۹	۱	۶۸۱۰۹۲	۰/۰۴۴
				۲	۶۶۲۴۲۳	۰/۰۵۲
				۳	۵۷۲۹۵۹	۰/۰۵۶
				۴	۵۲۸۵۰۵	۰/۰۶۱
				۵	۱۰۹۳۰۴۳	۰/۰۳۱
۵	۵-۵۰	۱۵	۱۴۷۳۶/۴۳۷	۱	۱۰۸۳۷۰۴	۰/۰۳۳
				۲	۱۰۵۴۴۷۳	۰/۰۴۷
				۳	۱۰۳۶۵۲۰	۰/۰۵۳
				۴	۱۰۲۴۴۰۳	۰/۰۵۸
				۵	۱۰۰۹۰۴۳	۰/۰۶۰
				۶	۹۹۲۹۹۴۸	۰/۰۶۶

جدول ۵. معیارهای عملکرد آزمایشات عددی روش محدودیت اپسیلن تقویت شده

شماره آزمایش	تعداد جوابهای پارتو	زمان محاسبه (ثانیه)	میانگین فاصله از جواب ایده‌آل	پراکندگی	فاصله
۱	۳	۴۷/۸۱۸	۰/۹۴۶۴۱۱	۰/۷۷۱۶۰۹	۰
۲	۳	۱۷۶/۵۶۴	۰/۸۷۱۱۱۴	۰/۷۳۲۶۶۵	۰/۱۷۴۶۳
۳	۲	۷۸۶/۷۲۳	۰/۹۷۴۱۵۴	۰/۷۸۳۵۶۳	۰
۴	۵	۲۷۴۵/۷۱۹	۰/۶۳۵۱۷	۰/۵۹۴۶۴	۰/۱۲۷۵۶
۵	۷	۱۴۷۳۶/۴۳۷	۰/۶۴۴۱۸	۰/۲۶۳۵۵۳	۰/۰۵۸۳۳۴

جدول ۶. نتایج حل مدل با استفاده از الگوریتم ژنتیک با مرتب‌سازی ناچیره

شماره مثال	ابعاد مسئله (M-N)	مقدار ni	زمان حل (ثانیه)	شماره جواب پارتویی	مقدار تابع هدف اول	مقدار تابع هدف دوم
۱	۲-۱۰	۵	۱۲/۲۷	۱	۲۴۳۶۲۷	۰/۰۳۵
				۲	۲۳۲۷۳۸	۰/۰۴۲
				۳	۲۱۷۴۳۶	۰/۰۵۵
۲	۳-۲۰	۵	۱۲/۶۹	۱	۳۸۹۲۶۲	۰/۰۳۸
				۲	۳۶۲۷۷۳	۰/۰۴۴
۳	۴-۳۰	۷	۱۴/۸۳	۱	۷۲۷۳۵۰	۰/۰۳۸
				۲	۶۸۱۳۵۵	۰/۰۴۴
				۳	۶۶۷۳۷۳	۰/۰۵۲
				۴	۵۱۷۵۷۳	۰/۰۵۵
				۵	۵۲۸۱۲۲	۰/۰۶۲
				۶	۵۱۷۵۷۳	۰/۰۶۰
				۱	۱۰۹۶۳۷۷	۰/۰۳۰
				۲	۱۰۷۰۶۹۳	۰/۰۳۶
۴	۵-۵۰	۱۰	۱۶/۵۵	۳	۱۰۵۲۶۱۵	۰/۰۴۸
				۴	۱۰۴۲۰۱۸	۰/۰۵۰
				۵	۱۰۳۷۴۵۴	۰/۰۵۴
				۶	۱۰۲۹۶۳۳	۰/۰۵۵
				۷	۱۰۱۰۰۵۲	۰/۰۵۸
				۸	۱۰۰۳۶۶۲	۰/۰۶۱
				۱	۳۵۲۲۲۸۲	۰/۰۷۱
				۲	۳۴۴۷۶۸۸	۰/۰۷۳
۵	۶-۱۰۰	۱۵	۱۷/۶۱	۳	۳۳۹۵۵۰۱	۰/۰۷۷
				۴	۳۳۲۱۹۴۶	۰/۰۷۸
				۵	۳۲۷۶۵۱۷	۰/۰۸۱
				۶	۳۱۹۸۲۳۵	۰/۰۸۲
				۷	۳۱۱۳۴۹۲	۰/۰۸۳
				۸	۳۰۶۳۷۴۶	۰/۰۸۳

جدول ۷. معیارهای عملکرد آزمایشات عددی الگوریتم ژنتیک با مرتبسازی ناچیره

شماره آزمایش	تعداد جواب‌های پارتو	زمان محاسبه (ثانیه)	میانگین فاصله از جواب ایده‌آل	پراکندگی	فاصله
۱	۳	۱۲/۲۷	۰/۹۷۲۶۵۳	۰/۷۱۷۵۴۵	۰
۲	۲	۱۲/۶۹	۰/۷۳۸۴۷۳	۰/۶۴۷۵۵۳	۰/۱۷۳۸۶۵
۳	۶	۱۴/۸۳	۰/۹۷۹۰۵۹	۰/۷۲۹۳۰۳	۰
۴	۸	۱۶/۵۵	۰/۵۷۹۴۴۳	۰/۴۷۱۲۷۰	۰/۱۱۷۰۹۳
۵	۸	۱۷/۶۱	۰/۶۱۶۱۳۷	۰/۲۲۸۸۲۹	۰/۰۳۸۴۶۲

همچنین به دلیل پیچیدگی مسئله باید از روش‌های حل ابتکاری یا فرا ابتکاری استفاده شود. از دلایل پیچیده بودن این مسئله می‌توان به غیرخطی بودن مدل، چند هدفه بودن مدل، وجود تعداد زیاد متغیر و پارامتر و محدودیت در مسئله اشاره کرد. این پیچیدگی خود را در ابعاد بزرگ‌تر مسئله بیشتر نشان می‌دهد. بنابراین در این تحقیق برای مثال‌های با ابعاد بزرگ از روش فرا ابتکاری استفاده کرده‌ایم.

با توجه نتایج حاصل از حل مسئله به دو روش محدودیت اپسیلن تقویت شده و ژنتیک با مرتب‌سازی ناچیره مشاهده می‌شود که جواب‌های حاصل از این روش‌ها در مسائل با ابعاد کوچک هم با یکدیگر تفاوت معناداری ندارند و مجموعه جواب‌های پارتویی روش ژنتیک تقریباً مشابه و نزدیک روش اپسیلن تولید شده‌اند. همچنین مقادیر معیارهای عملکرد دو روش (به‌غیراز معیار زمان) در مقایسه با یکدیگر بسیار نزدیک به هم می‌باشند. پس می‌توان گفت هر دو روش در ابعاد کوچک هم جواب‌های خوب و تقریباً دقیقی ارائه می‌دهند. اما در روش ژنتیک در معیار زمان هم بهتر عمل کرده و زمان حل کوتاه‌تری را به خود اختصاص داده است.

اعتبارسنجی مدل پیشنهادی

به‌منظور اعتبارسنجی مدل ارائه شده در این پژوهش، داده‌های مقاله کاثو و همکاران (۲۰۱۹) مبنای کار قرار گرفته و مدل با استفاده از این داده‌ها حل و با نتایج مقاله کاثو و

همکاران مقایسه می‌شود.

در مدل این پژوهش، تابع هدف اول هزینه انرژی پرواز پهپاد است اما در مقاله کائو و همکاران (۲۰۱۹) تابع هدف برابر میزان انرژی مصرف شده پهپاد است. همچنین مقاله کائو و همکاران (۲۰۱۹)، تابع هدف دوم موجود نیست چراکه مدل این مقاله تک هدفه است. لذا برای استفاده از داده‌های این مقاله ضرب هزینه هر واحد انرژی در تابع هدف اول مدنظر قرار گرفته است. در جدول ۷-۴، نتایج بدست آمده برای تابع هدف اول با توجه به متغیرها و پارامترهای مدل در مقاله مربوطه نمایش داده شده است:

جدول ۸ نتایج مقاله کائو و همکاران (۲۰۱۹)

درصد اختلاف نتیجه	میزان انرژی مصرف شده با توجه به مدل پیشنهادی	میزان انرژی مصرف شده در مقاله کائو	سرعت متوسط پهپاد (m/s)	سرعت باد (m/s)	تعداد توربین	شماره مسئله
%۳	۵۱۰۶۳	۵۲۴۶۵	۲	۰	۵	۱
%۰	۶۸۰۸۱	۶۸۳۶۹	۲,۷۷	۰,۵	۵	۲
%۱	۸۵۹۲۷	۸۶۳۷۲	۴	۱	۵	۳
%۲	۱۸۶۳۹۹	۱۸۹۴۸۳	۲	۰	۱۰	۴
%۲	۲۴۳۰۷۲	۲۴۸۲۷۹	۲,۷۷	۰,۵	۱۰	۵
%۰	۲۹۰۱۶۲	۲۹۰۳۲۳	۴	۱	۱۰	۶
%۳	۳۰۷۷۲۷۹	۳۱۵۹۲۰	۲	۰	۱۵	۷
%۲,۸	۲۵۵۹۸۱	۳۵۷۹۰۴	۲,۷۷	۰,۵	۱۵	۸
%۰	۳۷۱۲۲۱	۳۷۳۰۸۳	۴	۱	۱۵	۹
%۱	۴۰۱۹۳۴	۴۰۵۷۳۴	۲	۰	۲۰	۱۰
%۲	۴۳۱۲۳۲	۴۳۹۲۸۰	۲,۷۷	۰,۵	۲۰	۱۱
%۱	۴۶۱۵۲۵	۴۶۶۱۱۹	۴	۱	۲۰	۱۲

همان‌طور که از جدول ۸ مشخص است، اختلاف نتایج حاصل از مدل پیشنهادی پژوهش با مدل ارائه شده در مقاله کائو و همکاران (۲۰۱۹) بسیار کم (زیر ۵٪) است و تمامی نتایج با

هر شرایط جواب نزدیک به مقاله موردنظر دارد.

۷.۴. مقایسه معیارهای عملکرد مرز پارتو در روش محدودیت اپسیلن تقویت شده و ژنتیک با مرتب سازی ناچیره

با توجه به نتایج به دست آمده، روش محدودیت اپسیلن تقویت شده با افزایش ابعاد مسئله قادر به به دست آوردن جواب های پارتو در زمان معقول نبوده است. به عنوان عواملی که منجر به پیچیدگی مسئله و طولانی شدن زمان حل شده است می توان از غیر خطی بودن مدل، تعداد زیاد محدودیت های مدل، ماهیت صفر و یک بودن متغیرها و چند هدفه بودن مدل یاد کرد.

مقایسه معیارهای عملکرد مرز پارتو در آزمایشاتی که روش محدودیت اپسیلن در زمان معقول به جواب رسید به شرح زیر می باشد. این مقادیر در نمودارهای ۱۷-۵ تا ۲۱-۵ نمایش داده شده اند.

مقایسه معیار زمان حل: در تمامی آزمایشات الگوریتم ژنتیک با اختلاف چشمگیری بهتر از روش محدودیت اپسیلن عمل کرده است.

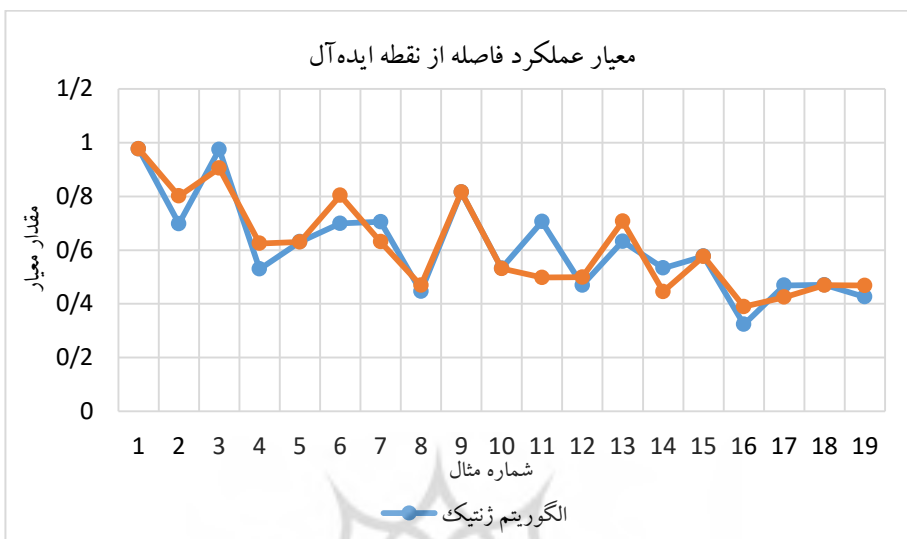
مقایسه معیار تعداد نقاط پارتو: در ۹۵,۷۴٪ آزمایشات الگوریتم ژنتیک در حد روش محدودیت اپسیلن یا بهتر عمل کرده است.

مقایسه معیار میانگین فاصله از نقطه ایدهآل: در ۶۸,۴۲٪ آزمایشات الگوریتم ژنتیک در حد روش محدودیت اپسیلن یا بهتر عمل کرده است.

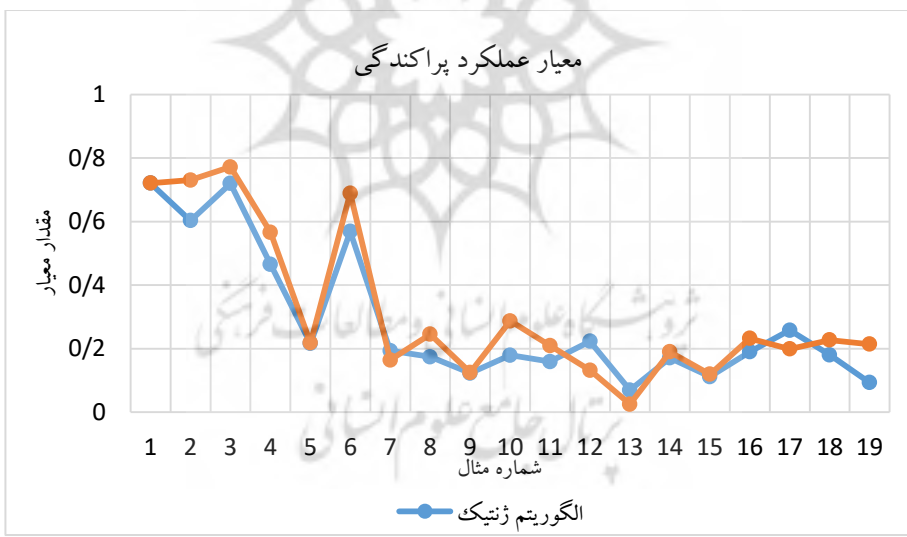
مقایسه معیار پراکندگی: در ۹۵,۷۴٪ آزمایشات الگوریتم ژنتیک بهتر از روش محدودیت اپسیلن عمل کرده است.

مقایسه معیار فاصله: در ۶۸,۴۲٪ آزمایشات الگوریتم ژنتیک در حد روش محدودیت اپسیلن یا بهتر عمل کرده است.

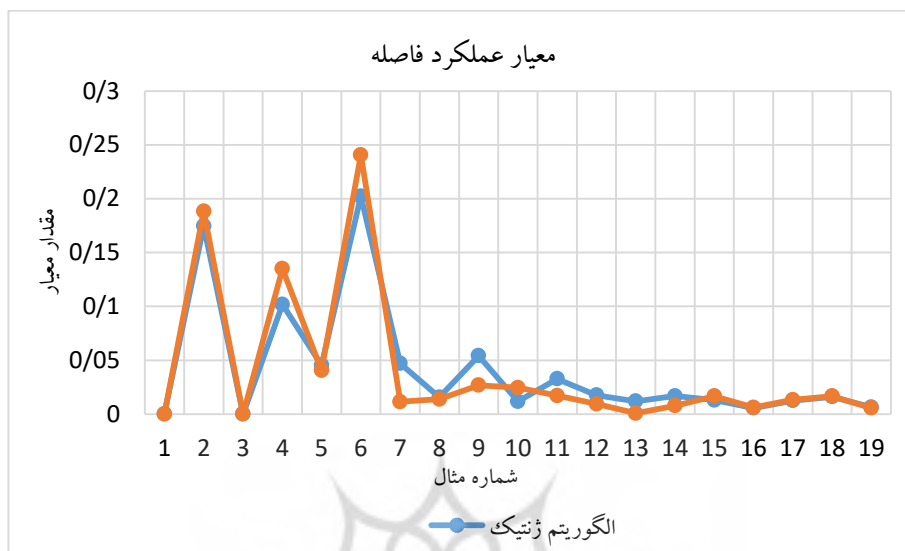
شکل ۳. مقایسه معیار فاصله از نقطه ایده‌آل در دو روش حل ارائه شده



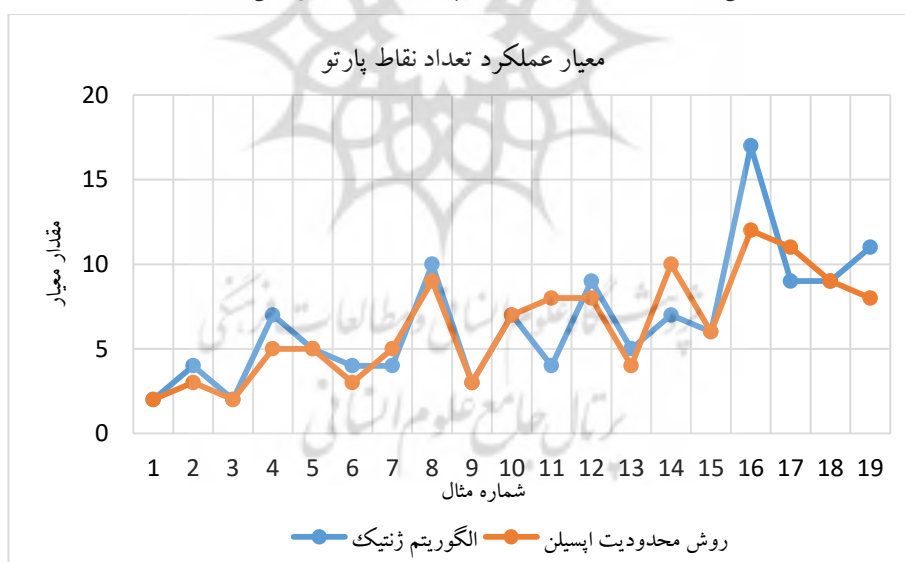
شکل ۴. مقایسه معیار پراکندگی در دو روش حل ارائه شده



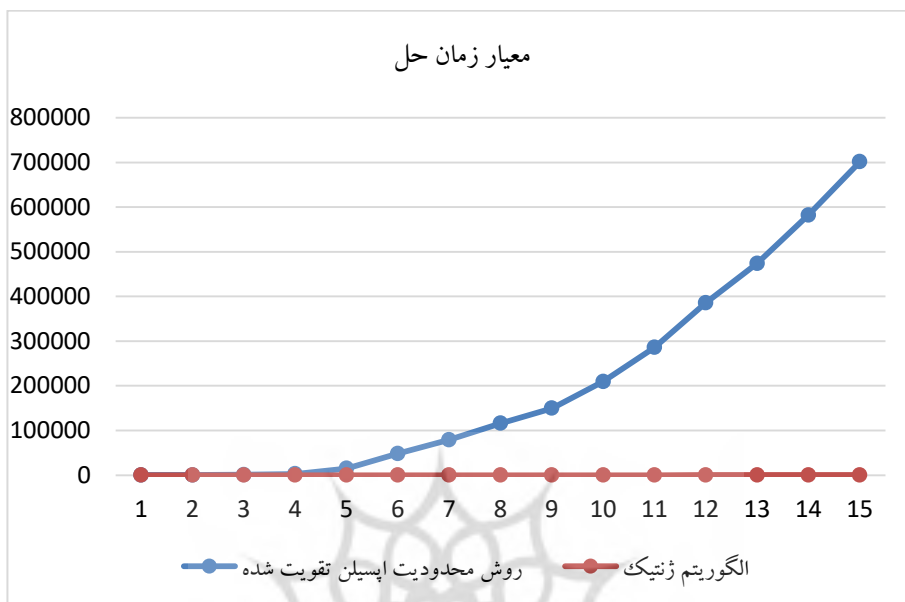
شکل ۵. مقایسه معیار فاصله در دو روش حل ارائه شده



شکل ۶. مقایسه معیار تعداد نقاط پارتو در دو روش حل ارائه شده



شکل ۷. مقایسه معیار زمان حل در دو روش حل ارائه شده



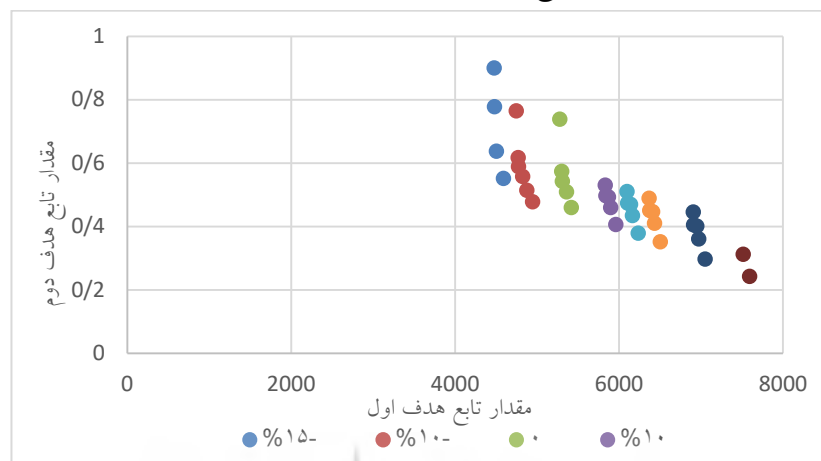
تحلیل حساسیت مدل پیشنهادی

در این بخش، به منظور ارزیابی مدل پیشنهادی و اعتبارسنجی آن، پارامترهای مهم مسئله تحلیل حساسیت می‌شوند. هدف از تحلیل حساسیت، بررسی تأثیر تغییرات محتمل پارامترها بر روی جواب بهینه و حصول اطمینان از صحت مدل است. بدین منظور مثال ۵ جدول ۳ (تعداد ۱۰۰ توربین و ۶ پهپاد) به ازای مقادیر مختلف پارامترهای مسئله بررسی شده است. نتایج به دست آمده در شکل‌های ۳ و ۴ رسم شده‌اند. لازم به ذکر است اعداد مربوط به تابع هدف اول در نمودار برای وضوح بیشتر بر مبنای هزار ریال نمایش داده شده‌اند.

تحلیل حساسیت توابع هدف نسبت به حداکثر سرعت پیشرانه پهپاد

همان‌طور که انتظار می‌رود با افزایش حداکثر سرعت پیشرانه پهپاد، مجموع انرژی مصرفی در سیستم افزایش می‌یابد و احتمال موفقیت در ارسال صحیح اطلاعات پردازش شده توسط پهپاد کاهش می‌یابد.

شکل ۸. تغییرات توابع هدف به ازای درصدهای تغییر در سرعت پیشرانه پهپاد

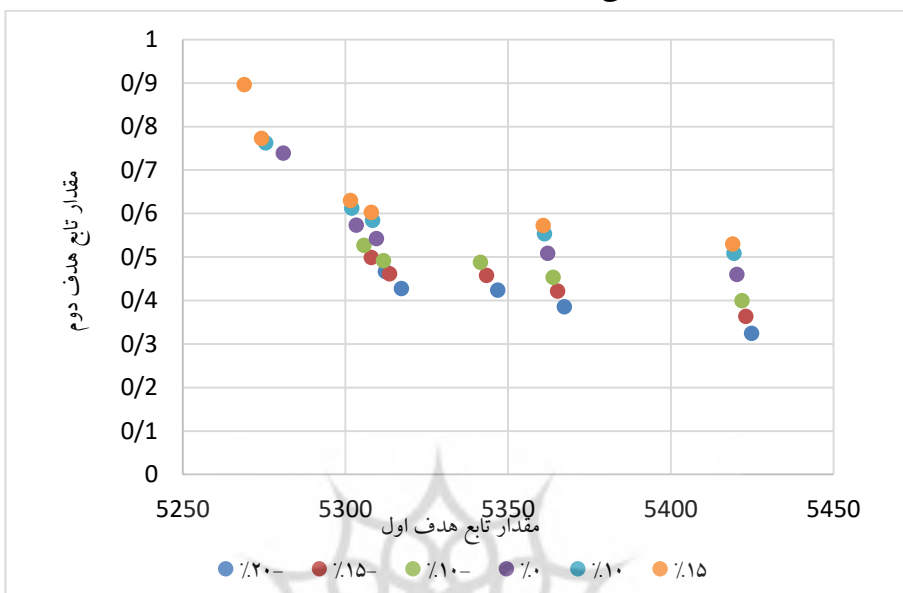


تحلیل حساسیت توابع هدف نسبت به پهنهای باند ارتباطی

همان‌طور که در شکل ۴ مشاهده می‌شود، با افزایش پهنهای باند ارتباطی، مجموع انرژی مصرفی در سیستم کاهش می‌یابد و درنتیجه تابع هدف اول کاهش می‌یابد. همچنین با افزایش پهنهای باند ارتباطی، احتمال موفقیت در ارسال صحیح اطلاعات پردازش شده توسط پهپاد افزایش (تابع هدف دوم) افزایش می‌یابد. درنتیجه باید تا حد ممکن پهنهای باند ارتباطی را در سیستم حداکثرسازی کرد.

پژوهشگاه علوم انسانی و مطالعات فرهنگی
پرستال جامع علوم انسانی

شکل ۹. تغییرات توابع هدف به ازای درصدهای تغییر در پهنهای باند ارتباطی



مقایسه هزینه استفاده از سیستم هوشمندسازی توسط پهپادها با عدم استفاده از آن

در این بخش به مقایسه میزان هزینه در صورت هوشمندسازی و عدم هوشمندسازی نظارت بر توربین‌های بادی پرداخته شده است. با حل مدل ارائه شده در این پژوهش، مقدار تابع هدف اول (میزان انرژی مصرف شده توسط پهپادها) در صورت وجود تعداد توربین‌های مختلف در مزرعه بادی به دست آمد. در قدم بعد باید به محاسبه هزینه نگهداری و تعمیرات پهپادها در صورت عدم هوشمندسازی پرداخت. بر اساس آمارهای منتشر شده توسط بانک جهانی (۲۰۲۰) و تراز نامه انرژی ایران منتشر شده توسط وزارت نیرو (۱۳۹۹) و مقاله مطهری و همکاران (۱۳۹۳)، هزینه تعمیرات و نگهداری توربین‌های بادی به ازای هر کیلووات ساعت تولید انرژی برابر ۸۰ سنت است. با توجه به نرخ تسیع ارز در ایران (هر دلار آمریکا ۵۰ هزار ریال)، محاسبات مربوط به تعمیرات و نگهداری مثال‌های این پژوهش به شرح زیر می‌باشد و با مقایسه مقدار تابع هدف اول و هزینه تعمیرات و نگهداری

توربین‌ها می‌توان به این نتیجه دست یافت که هوشمندسازی نظارت بر توربین‌های بادی در بستر اینترنت اشیاء نسبت به هزینه تعمیرات و نگهداری آن‌ها بسیار مقرون به صرفه است. از طرفی، یک توربین ۸.۱ مگاواتی قادر است سالانه بیش از ۲,۵ میلیون کیلووات ساعت برق تولید کند.

جدول ۹. مقایسه هزینه هوشمندسازی و عدم هوشمندسازی نظارت بر توربین‌های بادی

هزینه تعمیرات و نگهداری توربین‌ها (میلیون ریال)	میزان تولید برق ساعت در سال (کیلووات)	مقادیر توابع هدف مقدار تابع هدف اول (ریال)	شماره جواب پارتویی	ابعاد مسئله (M-N)	شماره مثال
۱۰۰,۰۰۰	۲۵,۰۰۰,۰۰۰	۲۴۳۶۲۷	۱	۲-۱۰	۱
		۲۳۲۷۳۸	۲		
		۲۱۷۴۳۶	۳		
۲۰۰,۰۰۰	۵۰,۰۰۰,۰۰۰	۳۸۹۲۶۲	۱	۳-۲۰	۲
		۳۶۲۷۷۳	۲		
۳۰۰,۰۰۰	۷۵,۰۰۰,۰۰۰	۷۲۷۳۵۰	۱	۴-۳۰	۳
		۶۸۱۳۵۵	۲		
		۶۶۷۳۷۳	۳		
		۵۷۷۷۳۷	۴		
		۵۲۸۱۲۲	۵		
		۵۱۷۵۷۳	۶		
۵۰۰,۰۰۰	۱۲۵,۰۰۰,۰۰۰	۱۰۹۶۳۷۷	۱	۵-۵۰	۴
		۱۰۷۰۶۹۳	۲		
		۱۰۵۲۶۱۵	۳		
		۱۰۴۲۰۱۸	۴		
		۱۰۳۷۴۵۴	۵		
		۱۰۲۹۶۳۳	۶		
		۱۰۱۰۰۵۲	۷		
		۱۰۰۳۶۶۲	۸		
۱,۰۰۰,۰۰۰	۲۵۰,۰۰۰,۰۰۰	۳۵۲۲۲۸۲	۱	۶-۱۰۰	۵
		۳۴۴۷۶۸۸	۲		

هزینه تعمیرات و تگهداری توربین‌ها (میلیون ریال)	میزان تولید برق سالانه (کیلووات ساعت در سال)	مقادیر توابع هدف	شماره جواب پارتویی	ابعاد مسئله (M-N)	شماره مثال
		مقدار تابع هدف اول (ریال)			
		۳۳۹۵۵۰۱	۳		
		۳۳۲۱۹۴۶	۴		
		۳۲۷۶۵۱۷	۵		
		۳۱۹۸۲۳۵	۶		
		۳۱۱۳۴۹۲	۷		
		۳۰۶۳۷۴۶	۸		

بحث و نتیجه‌گیری

در این تحقیق به طراحی و تبیین مدل ترکیبی اینترنت اشیاء و پهپادهای غیرنظمی جهت نظارت هوشمند بر عملکرد تجهیزات صنعتی با رویکرد رایانش لبه با مطالعه موردي: توربین‌های بادی پرداخته شد. برای این منظور مدلی دو هدفه شامل هفت محدودیت ارائه گردید. با توجه به اینکه تصویربرداری توسط پهپاد از مزرعه بادی باید در یک روز انجام شود، لذا در این مسئله مجموع انرژی مصرفی در پهپاد مورد مدل‌سازی قرار گرفته است و به عنوان تابع هدف اول استفاده می‌شود و احتمال موفقیت در ارسال اطلاعات توسط پهپاد به عنوان تابع هدف دوم در نظر گرفته شده است. بنابراین مدل ریاضی زیر ارائه می‌گردد:

با توجه به اینکه مدل مشابه این پژوهش در هیچ مقاله‌ای استفاده نشده بود، از تولید داده‌های موردنیاز مدل به صورت تصادفی کمک گرفته شد. در ادامه مدل با استفاده از ابزار تحلیل حساسیت اعتبارسنجی شد. نتایج حاصل شده رفتاری مطابق با آنچه مورد انتظار بود را نشان می‌دهد که حاکی از صحت مدل پیشنهادی تحقیق می‌باشد. سپس مدل ارائه شده به کمک روش حل محدودیت اپسیلن تقویت شده و با استفاده از نرم‌افزار گمز حل شد. با توجه به تحقیقات به عمل آمده، روش محدودیت اپسیلن بهترین روش برای به دست آوردن جواب‌های پارتو در مسائل چندهدفه می‌باشد، اما به دلیل پیچیدگی مسئله در این تحقیق، این روش با افزایش ابعاد مسئله کارایی خود را از دست داده و قادر به یافتن مرز پارتو در مسائل با ابعاد بزرگ در زمان معقول نمی‌باشد. همچنین به دلیل غیرخطی بودن مدل چنین

اتفاقی خارج از انتظار نبوده است. به همین منظور در ادامه مدل بالاستفاده از نسخه دوم روش فرالبتکاری ژنتیک با مرتب‌سازی ناچیره و به کمک نرم‌افزار متلب حل شد. در این پژوهش به منظور عملکرد بهتر الگوریتم ژنتیک، از ساختار جدیدی برای نمایش کروموزوم‌های استفاده شد. این الگوریتم توانست مسائل در ابعاد بزرگ را که روش محدودیت اپسیلن از حل آن عاجز بود، در زمان بسیار کوتاهی حل کند. طبق نتایج به دست آمده روش محدودیت اپسیلن تقویت شده و ژنتیک با مرتب‌سازی ناچیره تنها در زمان حل با یکدیگر متفاوت بوده و دارای اختلاف معنادار هستند و در سایر معیارها دارای عملکرد مشابهی می‌باشند. به عبارت دیگر الگوریتم فرالبتکاری تحقیق از لحاظ زمان حل بسیار بهتر عمل کرده و در سایر معیارها در حد روش حل دقیق تحقیق بوده و جواب‌های خوب و باکیفیتی حاصل شد. درنتیجه روش ژنتیک با مرتب‌سازی ناچیره به عنوان روش برتر برای حل مسئله تحقیق پیشنهاد می‌گردد. بنابراین به تمامی پرسش‌های تحقیق که در فصل اول مطرح شد، پاسخ داده شده است.

تعارض منافع

تعارض منافع ندارم.

ORCID

Elham Aghazadeh



<https://orcid.org/0009-0002-7904-5094>

Akbar Alem Tabriz



<https://orcid.org/0000-0002-4562-8032>

منابع

۱. کاظمی، حمید و الهیان، سمانه. (۱۳۹۹). توسعه پهپادهای غیرنظمی در ایران و چالش‌های پیش روی آن. *فناوری در مهندسی هوافضای ۲۳*. ۴۵-۶۴.
۲. قضاوی، علیرضا و طباطبا، فروغ السادات. (۱۳۹۹). پهپادها و کاربرد آن‌ها در امنیت عمومی و پلیس هوشمند. *نشریه علمی فناوری اطلاعات و ارتباطات انتظامی*. ۷(۱). ۶۷-۹۰.
۳. حقیقی، حسن و سادati، سید حسین و کریمی، جلال و دهقانی، سید محمدمهدي. (۱۳۹۷). نظارت مداوم چندفرونده به وسیله الگوهای پیمایشی پایه باهدف کمینه‌سازی زمان بازیبینی. *مهندسی هوافرودی*. ۲۰(۱). ۱-۱۲.
۴. علی پور، میرزامحمد و رجول ذفولی، علی و دانش کهن، حسین. (۱۳۸۸). استفاده از هوایپماهای بدون سرنشین به منظور بازرگانی خطوط لوله نفت و گاز. *دومین کنفرانس لوله و صنایع وابسته*. تهران.
۵. قضاوی، نفیسه و رحمنی، دنیا. (۱۴۰۰). ارائه مدلی برای مسیریابی پهپاد برای نظارت بر مناطق آسیب‌دیده پس از بحران. *هجدهمین کنفرانس بین‌المللی مهندسی صنایع*. ۵۸-۸۳.

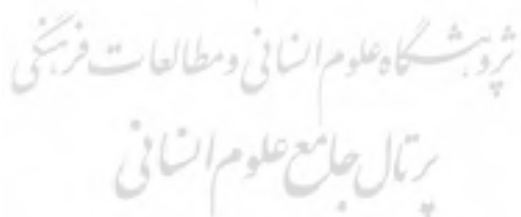
References

6. Al-Khafaji, H. (2022). Data Collection in IoT Using UAV Based on Multi-Objective Spotted Hyena Optimizer. *Sensors*. 22(22). pp. 88-96. DOI: 10.3390/s22228896
7. Alturjman, F., Alturjman, S. (2020). *5G/IoT-enabled UAVs for multimedia delivery in industry-oriented applications*. *Multimedia Tools and Applications*, 79 (25), 74-89. DOI:10.1007/s11042-018-6288-7
8. Athreyasa,G. (2021). Roadway Traffic Analysis Scheme using Unmanned Aerial Vehicle Based on Image Processing and Edge Computing. *Turkish Journal of Computer and Mathematics Education (TURCOMAT)*. 12(3). 122-131. DOI: <https://doi.org/10.17762/turcomat.v12i12.7788>
9. Bahar , C., Chokri, B., Sofiene, B., Hedi, S. (2021). *Real-time intelligent monitoring system based on IoT*. 18th International Multi-Conference on Systems, Signals & Devices (SSD). DOI:10.1109/SSD52085.2021.9429358
- 10.Cao, P., YI, L., Chao, Y., Shengli, X., Kan, X. (2019). MEC-Driven UAV-Enabled Routine Inspection Scheme in Wind Farm Under Wind Influence. *Digital Object Identifier*, 51(33). 342-361. DOI:10.1109/ICICTA49267.2019.00148

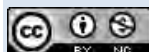
11. Caro, M., Cano, M. (2019). IoT System Integrating Unmanned Aerial Vehicles and LoRa Technology: A Performance Evaluation Study. *Wireless Communications and Mobile Computing*. 36(4). 134-151. DOI:10.1155/2019/4307925
12. Chagh, Y., Guennoun Z., Jouihri, Y. (2016). Voice service in 5G network: Towards an edge-computing enhancement of voice over Wi-Fi, in Proc. Conf. Telecommun. Signal Process. (TSP). 65(5). 116–120. DOI:10.1109/TSP.2016.7760841
13. Lagkas, T., Bibi, S., Argyriou, V., Panagiotis, G. (2018). UAV IoT Framework Views and Challenges: Towards Protecting Drones as “Things”. *Sensors*. 18(1). 18-25. <https://doi.org/10.3390/s18114015>
14. Mavrotas, G. (2009). Effective implementation of the e-constraint method in Multi-Objective Mathematical Programming problems. *Applied mathematics and computation*. 213(3), 455–465. <https://doi.org/10.1016/j.amc.2009.03.037>
15. Na, Z., Mengshu, Z., Jun, W. (2020). UAV-assisted wireless powered Internet of Things: Joint trajectory optimization and resource allocation. *Ad Hoc Networks*. 98(23). 254-276. <https://doi.org/10.1016/j.adhoc.2019.102052>
16. Pasandideh, S.H.R., Niaki, S.T.A. (2012). Genetic application in a facility location problem with random demand within queuing framework. *Journal of Intelligent Manufacturing*. 23(3). 651-659. DOI:10.1007/s10845-010-0416-1
17. Salhaoui, M., Guerrero, Antonio., Arioua, M., Francisco, J., Ortiz, A., Oualkadi, E., Luis Torregrosa, C. (2019). Smart Industrial IoT Monitoring and Control System Based on UAV and Cloud Computing Applied to a Concrete Plant. *Sensors*. 19(3). 16-30. <https://doi.org/10.3390/s19153316>
18. Wulfovich, S., Rivas, H., Matabuena, P. (2020). Drones in Healthcare. *Digital Health*. 4(22). 159–168. DOI:10.1007/978-3-319-61446-5_11
19. Zhao, T., Zhou, S., Guo, X., Zhao, Y., Niu, Z. (2016). Pricing policy and computational resource provisioning for delay-aware mobile edge computing. IEEE/CIC Int. Conf. Commun. China (ICCC). 1–6. DOI:10.1109/ICCChina.2016.7636891
20. Zhang, K., Mao, Y., Leng, S., Vinel, A., Zhang, Y. (2016). Delay constrained offloading for mobile edge computing in cloud-enabled vehicular networks. Workshop Resilient Netw. *Design Modeling (RNDM)*. 33(2). 288–294. DOI:10.1109/RNDM.2016.7608300

References (in persian)

1. Alipour, Mirzamohammad, Rajoul Dezfuli, Ali, and Danesh Kohan, Hossein. (2009). *The Use of Unmanned Aerial Vehicles for the Inspection of Oil and Gas Pipelines*. Second Conference on Pipelines and Related Industries. Tehran (in persian).
2. Ghazawi, Alireza, and Tabataba, Forough Alsadat. (2020). Drones and Their Applications in Public Security and Smart Policing. *Scientific Journal of Information and Communication Technology in Law Enforcement*, 1(1), 67-90 (in persian).
3. Ghazawi, Nafiseh, and Rahmani, Donya. (2021). Proposing a Model for Drone Routing for Post-Crisis Damage Assessment in Affected Areas. *Eighteenth International Industrial Engineering Conference*, 58-83 (in persian).
4. Haghghi, Hassan, Sadati, Seyed Hossein, Karimi, Jalal, and Dehghani, Seyed Mohammad Mehdi. (2018). Continuous Multi-UAV Surveillance Using Base Scan Patterns to Minimize Review Time. *Aeronautical Engineering*, 20(1), 1-12 (in persian).
5. Kazemi, Hamid, and Elhian, Samaneh. (2020). Development of Non-military Drones in Iran and Its Challenges. *Technology in Aerospace Engineering*, 2(23), 45-64 (in persian).



استناد به این مقاله: آفازاده، الهام، عالم تبریز، اکبر. (۱۴۰۲). طراحی مدل نظارت هوشمند بر تجهیزات صنعتی با رویکرد بهینه‌سازی تأخیر انتقال و سرعت پردازش داده‌ها (مطالعه موردی: توربین‌های بادی)، مدیریت صنعتی، ۷۱(۲۱)، ۵۳-۶۱. DOI: 10.22054/jims.2023.66540.2769



Industrial Management Studies is licensed under a Creative Commons Attribution-NonCommercial 4.0 International License.